

ผลกระทบของการเปลี่ยนแปลงความชื้นต่อกำลังรับแรงอัดแกนเดียว ของดินลมหอบในสภาพไม่มีอิ่มตัวด้วยน้ำ

อนุชิต อุชาಯกิชาติ¹

มหาวิทยาลัยวงศ์ชวลิตกุล อ.เมือง จ.นครราชสีมา 30000

บทคัดย่อ

งานวิจัยนี้ได้ทำการศึกษาพัฒนาระบบทิกรรมเชิงวิศวกรรมของดินลมหอบในภาคตะวันออกเฉียงเหนือของประเทศไทย โดยเฉพาะผลกระทบของความชื้นและรูปแบบการเปลี่ยนแปลงความชื้นต่อกำลังของดินลมหอบ ซึ่งโครงสร้างของดินประเภทนี้จะจับตัวกันแข็งแรงเมื่อยูนิฟอร์ม เมื่อถูกดันให้เกิดการทรุดตัว การศึกษานี้ได้ทำการทดสอบแรงอัดแกนเดียว (Unconfined Compression Test) กับตัวอย่างดินลมหอบของอนกนบดอัดที่มีความชื้นและรูปแบบการเปลี่ยนแปลงความชื้นที่แตกต่างกัน จากการทดสอบพบว่าการเพิ่มขึ้นของความชื้นของตัวอย่างดินเป็นสาเหตุของการสูญเสียกำลังรับแรงอัดแกนเดียว ผลกระทบนี้มีมากในช่วงความชื้นน้อยกว่าร้อยละ 5 และลดลงกับการลดลงของค่าแรงดึงดูดชนิดเมตริกเมื่อปริมาณความชื้นเพิ่มขึ้นในช่วงนี้ ผลการทดสอบยังแสดงให้เห็นว่ารูปแบบการเปลี่ยนแปลงความชื้นของตัวอย่างดินบดอัดไม่มีผลต่อการเปลี่ยนแปลงค่ากำลังรับแรงอัดแกนเดียวกับปริมาณความชื้น

¹ อาจารย์ สาขาวิชาวิศวกรรมโยธา
E-mail: anuchit_u@hotmail.com

Effect of Water Content on Unconfined Compressive Strength of Compacted Loess under Unsaturated Conditions

Anuchit Uchaipichat¹

Vongchavalitkul University, Muang, Nakhonratchasima 30000

Abstract

This research is aimed at studying the engineering behavior of loess in Northeastern region of Thailand, particularly on the effect of water content and wetting-drying process on the strength of this soil. The concern for this soil is that the bond between the soil particles is relatively strong under unsaturated state but becomes very weak under saturated state. This research was studied by conducting a series of unconfined compression tests on the compacted Khon Kaen loess with different water contents within the samples and different wetting-drying paths. The results from the experiments showed the strength of loess decreased with increasing water content. This effect is very significant at water content below 5 %. The results also showed that there is no effect of wetting-drying paths on the change in unconfined compressive strength with water content.

¹ Lecturer, Department of Civil Engineering.

E-mail: anuchit_u@hotmail.com

1. บทนำ

ในบริเวณภาคตะวันออกเฉียงเหนือของประเทศไทย การก่อสร้างอาคารนิยมใช้ฐานรากแผ่ เนื่องจากชั้นดินแข็งสามารถตอบได้ในระดับที่ต่ำ ชั้นดินในระดับนี้ส่วนใหญ่จะเป็นชั้นดินลมหอบ ซึ่งเมื่อความชื้นเพิ่มขึ้นดินชนิดนี้จะมีการสูญเสียกำลัง และทำให้เกิดการทรุดตัวทันทีภายใต้น้ำหนักดินทับได้ สาเหตุมักเกิดขึ้นจากการสูญเสียพันธะระหว่างเม็ดดินเมื่อความชื้นของดินเพิ่มสูงขึ้น ดินลมหอบในประเทศไทยสามารถจำแนกออกได้เป็น 2 ประเภท คือ ดินลมหอบแดงและดินลมหอบเหลือง ดินสองประเภทนี้มีแร่ประกอบดินคล้ายคลึงกัน ต่างกันแค่สถานะของการเกิดปฏิกิริยาออกซิเดชัน ซึ่งเป็นสาเหตุให้มีลักษณะแตกต่างกัน [1]

การศึกษาพฤติกรรมการเปลี่ยนแปลงปริมาตรและกำลังของดินประเภทนี้เมื่อความชื้นของดินเพิ่มสูงขึ้นมักกระทำกับดินลมหอบขอนแก่น [1-3] และพบว่าการสูญเสียกำลังและการทรุดตัวทันทีทันใดเกิดขึ้นจากความชื้นเพิ่มขึ้น [1, 2] ซึ่งกำลังของดินลมหอบนั้นจะขึ้นอยู่กับแรงดึงดูดของน้ำระหว่างเม็ดดิน (suction) ซึ่งมีความล้มพันธ์ร่วมกับปริมาณความชื้น [3] นอกจากนี้ได้มีการศึกษาเกี่ยวกับการการออกแบบเสาเข็มและการปรับปรุงดินชนิดนี้ขึ้นอีกด้วย [4, 5]

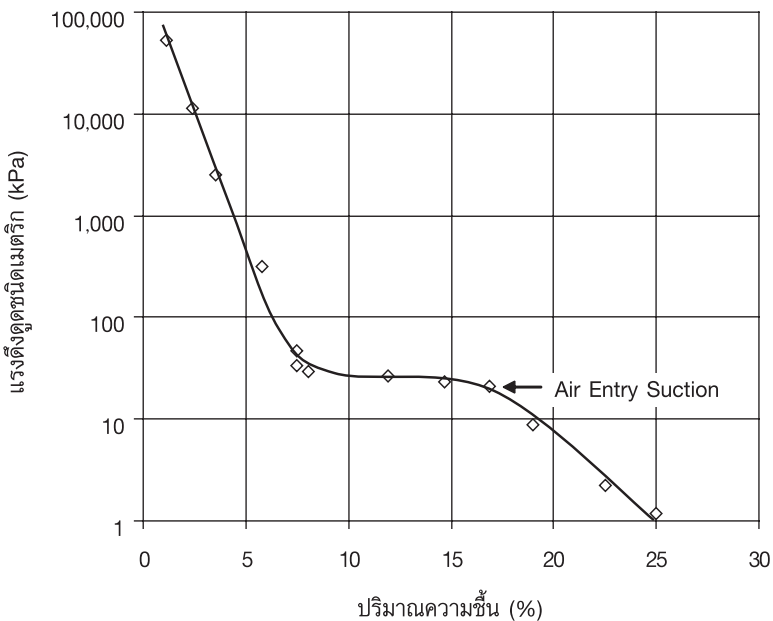
อย่างไรก็ตาม ผลการศึกษาที่ผ่านมา�ังไม่สามารถนำมาใช้ประโยชน์ได้อย่างเต็มที่ในทางปฏิบัติ และยังละเอียดกระบวนการของวงจรของการเปียกและแห้งของดิน (Wetting-Drying cycle) อีกด้วย ดังนั้นงานวิจัยนี้จึงทำการศึกษาผลของความชื้นและผลกระทบของรูปแบบการเปลี่ยนแปลงความชื้นต่อการเปลี่ยนแปลงกำลังของดินชนิดนี้

2. วัสดุที่ใช้ทดสอบ

การศึกษานี้ได้ทำการทดสอบตัวอย่างดินลมหอบด้วยตัวอย่างดินถูกนำเข้ามาจากความลึกประมาณ 2 เมตร ในบริเวณอำเภอเมือง จังหวัดขอนแก่น คุณสมบัติทั่วไปของดินประเภทนี้แสดงไว้ในตารางที่ 1 และกราฟความล้มพันธ์ระหว่างความชื้น (water content) กับแรงดึงดูดชนิดเมตريค (matric suction) ที่ได้จากการวัดค่าโดยใช้กระดาษกรอง แสดงไว้ในรูปที่ 1

ตารางที่ 1 คุณสมบัติของดินลมหอบขอนแก่น

คุณสมบัติ	ค่าที่วัดได้
พิกัดเหลว	14.3
พิกัดพลาสติก	n/a
ความถ่วงจำเพาะ	2.68
ค่า Air entry suction (kPa)	25
หน่วยน้ำหนักแห้ง荷重ชาติ (kN/m^3) [*] [3]	15.3
ปริมาณความชื้น荷重ชาติช่วงคุดฝัน (%) [*] [3]	8-12



รูปที่ 1 ความความล้มเหลวระหว่างความชื้นกับแรงดึงดูดชนิดเมติก

3. วิธีดำเนินการทดลอง

การศึกษานี้ได้ทำการทดสอบกำลังรับแรงอัดแกนเดียว (Unconfined Compression Test) กับตัวอย่างดินบด อัดที่มีความชื้นระหว่างร้อยละ 3.29 ถึง 8.34 ตัวอย่างดินทุกตัวอย่างถูกเตรียมโดยการบดอัดแบบสกัดให้มีความหนาแน่นแห้งประมาณ 15.3 kN/m^3 ที่ความชื้นประมาณ ร้อยละ 10 ซึ่งเป็นค่าใกล้เคียงกับปริมาณความชื้นในธรรมชาติ

ก่อนที่จะบดอัดดิน ตัวอย่างดินจะถูกผึ่งลมให้แห้งภายในอุณหภูมิห้องทดลอง และทุกไฟล์จะถูกตัวอย่างค้อนย่าง ต่อมาค่อยๆ เติมน้ำลงไปให้มีความชื้นประมาณร้อยละ 10 และบ่มไว้ในถุงพลาสติกเป็นเวลา 24 ชม. หลังจากนั้นทำการบดอัดในกรอบอกขนาด 38 มม. โดยแบ่งดินเพื่อบดอัดสามชั้น การบดอัดทำโดยการกดดินลงในกรอบอกด้วย

อัตราความเร็ว 1 มม./นาที ตัวอย่างบดอัดจะมีค่าความสูงต่อเลี้นผ่านศูนย์กลางประมาณ 2.0

ในการศึกษานี้ได้กำหนดรูปแบบการเปลี่ยนแปลงความชื้นของตัวอย่างดินบดอัดไว้ในตารางที่ 2 การทำให้ตัวอย่างดินเปียก (wetting) สามารถทำได้โดยการหยดน้ำจำนวนต่างๆ กันลงบนตัวอย่างดิน ส่วนการทำให้ตัวอย่างดินแห้ง (drying) สามารถทำได้โดยการผึ่งตัวอย่างดินไว้ในห้องทดลองเพื่อให้น้ำระเหยออกจากตัวอย่างดินเป็นระยะเวลาต่างๆ กัน ต่อมาตัวอย่างดินบดอัดจะถูกเก็บไว้ในถุงพลาสติกเป็นเวลา 24 ชั่วโมง เพื่อให้ความชื้นกระจายตัวเท่ากันทั่วทั้งตัวอย่างดิน หลังจากนั้นจึงนำตัวอย่างดินออกจากรอบอกเพื่อนำไปทดสอบหากกำลังรับแรงอัดแกนเดียวต่อไป ค่าหน่วยน้ำหนักแห้งและความชื้นหลังการบดอัดได้แสดงไว้ในตารางที่ 3

ตารางที่ 2 รูปแบบการเปลี่ยนแปลงความชื้นของตัวอย่างดินบดอัด

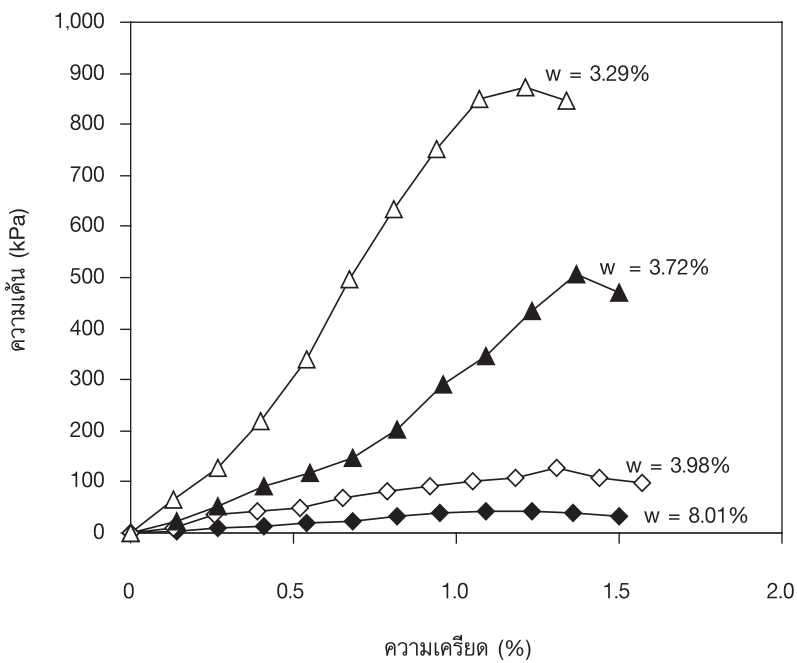
การทดลองชุดที่	รูปแบบการเปลี่ยนแปลงความชื้นของตัวอย่างดินบดอัด
1	ตัวอย่างดินบดอัดถูกทำให้แห้งจนมีค่าความชื้นต่างๆ กัน
2	ตัวอย่างดินบดอัดถูกทำให้เปียกชั่นจนอิ่มตัวด้วยน้ำ และผึ่งให้แห้งจนมีค่าความชื้นต่างๆ กัน
3	ตัวอย่างดินบดอัดถูกผึ่งให้แห้ง 7 วัน และต่อมาทำให้ตัวอย่างดินเปียกจนมีค่าความชื้นต่างๆ กัน
4	ตัวอย่างดินบดอัดถูกผึ่งให้แห้ง 5 วัน และต่อมาทำให้ตัวอย่างดินเปียกจนมีค่าความชื้นต่างๆ กัน
5	ตัวอย่างดินบดอัดถูกผึ่งให้แห้ง 3 วัน และต่อมาทำให้ตัวอย่างดินเปียกจนมีค่าความชื้นต่างๆ กัน

4. ผลการทดลอง

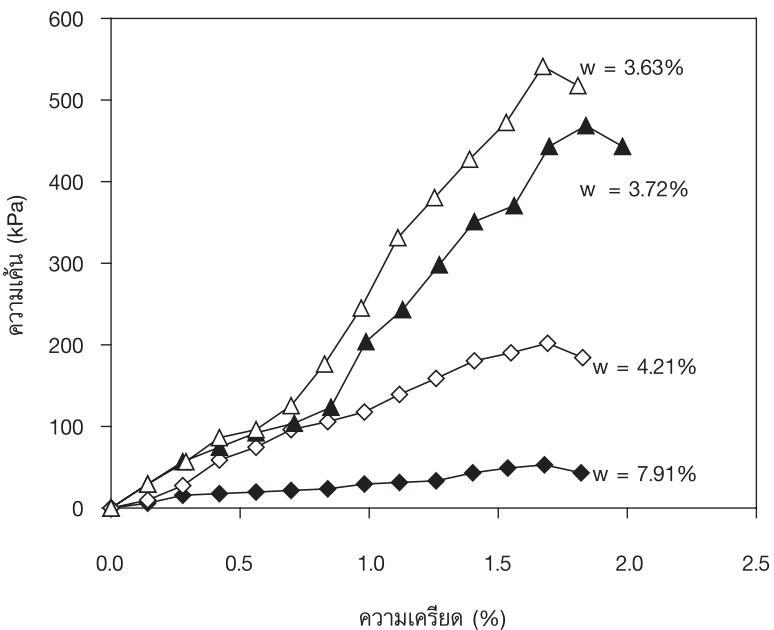
รูปที่ 2 ถึง 6 แสดงผลกระบวนการปริมาณความชื้นต่อความล้มพันธ์ระหว่างความเด่นและความเครียดในแนวแกนสำหรับการทดสอบแรงอัดแกนเดียวกับตัวอย่างดินที่มีรูปแบบการเปลี่ยนแปลงความชื้นต่างๆ กัน ผลการทดสอบแสดงให้เห็นว่าดินมีความแข็งแรงขึ้น และค่าความเด่นแนวแกนสูงสุดเพิ่มขึ้นเมื่อความชื้นของดินลดลง

ตารางที่ 3 แสดงค่ากำลังรับแรงอัดแกนเดียว (Unconfined Compressive Strength) ซึ่งคือค่าความเด่นในแนวแกนสูงสุดและความชื้นหลังการทดสอบ ซึ่งสามารถ

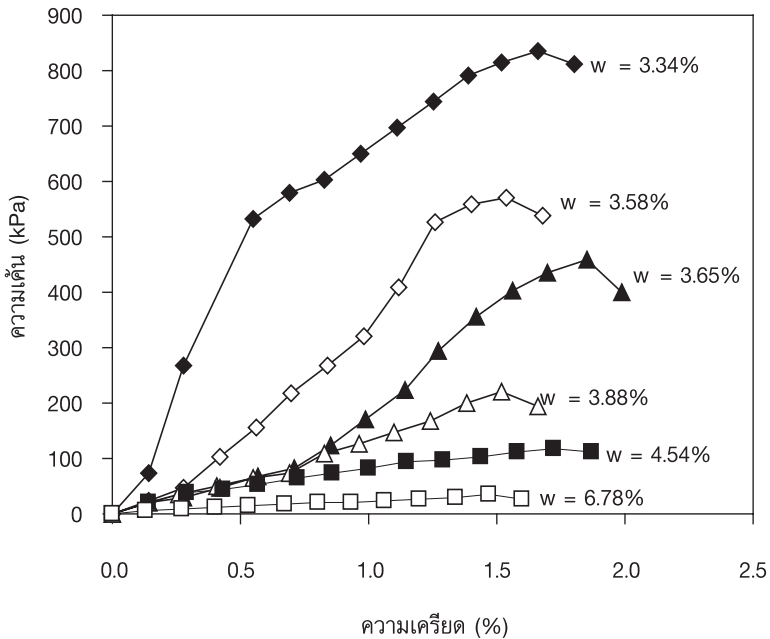
นำค่าทั้งสองไปพล็อตเป็นความสัมพันธ์ดังแสดงในรูปที่ 7 ผลการทดสอบแสดงให้เห็นว่ารูปแบบการเปลี่ยนแปลงความชื้นของตัวอย่างดินบดอัดไม่มีผลต่อการเปลี่ยนแปลงค่ากำลังรับแรงอัดแกนเดียวกับปริมาณความชื้น ผลการทดสอบยังแสดงให้เห็นว่าการเปลี่ยนแปลงค่าแรงอัดแกนเดียวกับปริมาณความชื้นจะมากในช่วงความชื้นน้อยกว่าร้อยละ 5 ส่วนการเปลี่ยนแปลงค่ากำลังรับแรงอัดแกนเดียวกับปริมาณความชื้นไม่มีนัยสำคัญในช่วงความชื้นมากกว่าร้อยละ 5



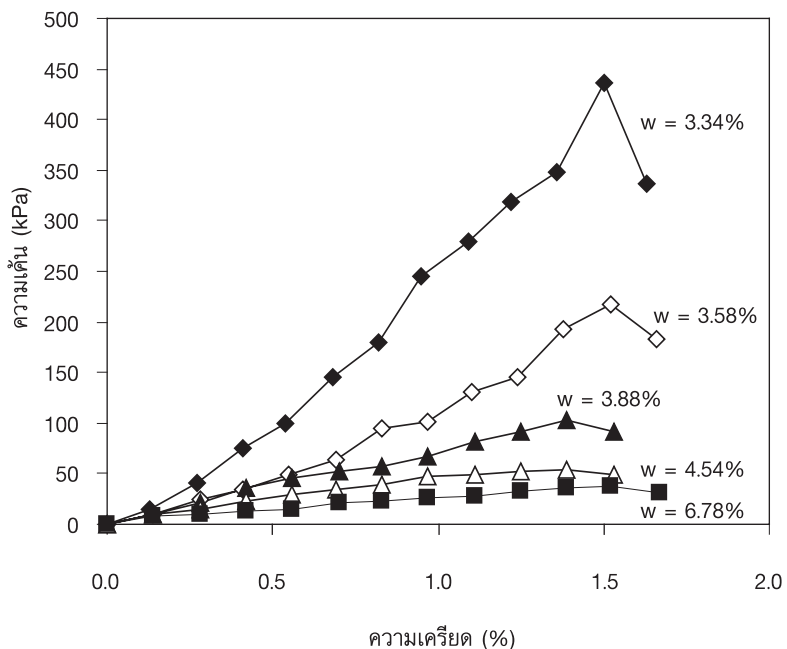
รูปที่ 2 ความล้มพันธ์ระหว่างความเด็นและความเครียดสำหรับการทดสอบชุดที่ 1



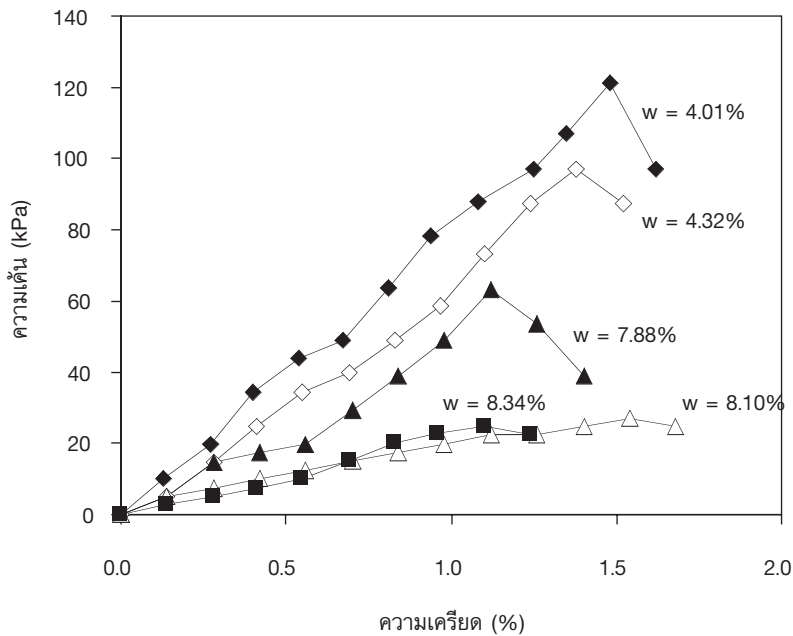
รูปที่ 3 ความล้มพันธ์ระหว่างความเด็นและความเครียดสำหรับการทดสอบชุดที่ 2



รูปที่ 4 ความล้มพังธารระหว่างความเด็นและความเครียดสำหรับการทดสอบชุดที่ 3



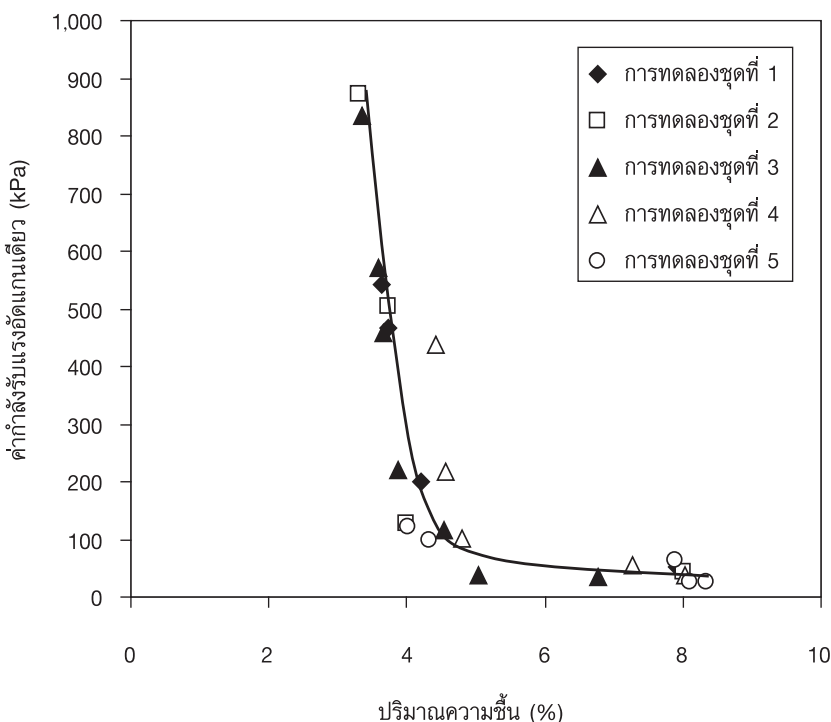
รูปที่ 5 ความล้มพังธารระหว่างความเด็นและความเครียดสำหรับการทดสอบชุดที่ 4



รูปที่ 6 ความสัมพันธ์ระหว่างความเดินและความเครียดสำหรับการทดสอบชุดที่ 5

ตารางที่ 3 ค่ากำลังรับแรงอัดแกนเดียวของตัวอย่างดินบดอัดที่ความชื้นต่างๆ

การทดลอง ชุดที่	ตัวอย่าง ที่	หน่วยน้ำหนักแห้ง หลังการบดอัด (kN/m^3)	ความชื้น หลังการบดอัด (%)	ความชื้น หลังการกด ^a ตัวอย่างดิน (%)	ค่ากำลัง ^b รับแรงอัด แกนเดียว (kPa)
1	1	15.1	9.82	8.01	43
	2	15.4	9.71	3.98	126
	3	15.2	10.25	3.72	506
	4	15.6	10.13	3.29	872
2	1	14.9	10.08	7.91	53
	2	15.0	10.54	4.21	201
	3	15.2	9.71	3.72	468
	4	15.1	10.10	3.63	542
3	1	15.4	10.37	3.34	836
	2	15.5	9.70	3.58	571
	3	15.3	10.24	3.65	459
	4	15.2	10.06	3.88	219
	5	15.1	9.82	4.54	117
	6	15.2	9.95	6.78	34
4	1	15.7	9.61	4.41	437
	2	15.1	9.86	4.57	217
	3	15.4	9.57	4.80	102
	4	15.3	10.14	7.28	54
	5	15.2	10.49	8.03	38
5	1	14.9	10.32	4.01	192
	2	15.4	9.75	4.32	97
	3	15.6	9.57	7.88	63
	4	15.5	10.22	8.10	27
	5	15.6	10.19	8.34	25



รูปที่ 7 ความล้มเหลวของรากศักดิ์สิทธิ์ที่มีความต้านทานต่อแรงดึงดูดซึ่งกันและกันลดลงเมื่อปริมาณความชื้นเพิ่มขึ้น

5. วิเคราะห์ผลการทดลอง

สาเหตุที่กำลังรับแรงอัดแกนเดียวของตัวอย่างดินลดลงเมื่อความชื้นเพิ่มขึ้นเนื่องมาจากค่าแรงดึงดูดชนิดเมตริกลดลงเมื่อปริมาณความชื้นเพิ่มขึ้นดังแสดงในรูปที่ 1 ซึ่งเป็นสาเหตุให้ค่าความเด่นประลิทธิ์ (effective stress) ซึ่งเป็นตัวควบคุมกำลังของดินไม่เอ้มตัวด้วยน้ำลดลงดังแสดงในสมการที่ 1 [6]

$$\sigma' = (\sigma - u_a) + \chi (u_a - u_w) \quad (1)$$

โดยที่ σ' คือค่าความเด่นประลิทธิ์, σ คือค่าความเด่นรวม, u_a คือค่าความดันอากาศ (มีค่าเท่ากับคูณย์ในกรณีนี้), u_w คือค่าความดันน้ำ, χ คือค่าพารามิเตอร์ของความเด่นประลิทธิ์ (Effective Stress Parameter), และ $(u_a - u_w)$ คือค่าแรงดึงดูดชนิดเมตริก

เมื่อเปรียบเทียบการเปลี่ยนแปลงกำลังรับแรงอัดแกนเดียว (รูปที่ 7) กับการเปลี่ยนแปลงค่าแรงดึงดูดชนิดเมตริก (รูปที่ 1) เมื่อความชื้นเปลี่ยนแปลงไป จะเห็นได้ว่าความ

ล้มเหลวของรากศักดิ์สิทธิ์ที่มีความต้านทานต่อแรงดึงดูดซึ่งกันและกันลดลงเมื่อปริมาณความชื้นเพิ่มขึ้นมากในช่วงความชื้นน้อยกว่าร้อยละ 5 และมีความเปลี่ยนแปลงน้อยมากในช่วงความชื้นมากกว่าร้อยละ 5

สำหรับดินลมหอนขอนแก่น การทดสอบกำลังรับแรงเฉือนในลักษณะเพื่อหาค่าพารามิเตอร์ไปใช้ในการออกแบบฐานรากเช่น การทดสอบโดยการตอกทะลุทะลวง (Standard Penetration Test) หรือการทดสอบกำลังรับน้ำหนักของดิน (Plate Bearing Test) ไม่ควรกระทำในช่วงถูกแล้ง เนื่องจากความชื้นของดินอาจมีค่าน้อยกว่าร้อยละ 5 ซึ่งทำให้ค่ากำลังของดินที่ได้มีค่าสูงกว่าในช่วงถูกฝนมาก หรือถ้าจะทำการทดสอบในถูกแล้งก็ควรจะทดสอบในสภาพเปียกน้ำ

5. สรุปผลการทดลอง

การเพิ่มขึ้นของความชื้นของดินลมหอนเป็นสาเหตุของการสูญเสียค่ากำลังรับแรงอัดแกนเดียว สำหรับดินลมหอนขอนแก่นผลกระทบนี้มีมากในช่วงความชื้นน้อย

กว่าร้อยละ 5 และสอดคล้องกับการลดลงของค่าแรงดึงดูดชนิดเมติกเมื่อปริมาณความชื้นเพิ่มขึ้นในช่วงนี้ ผลให้เกิดการลดลงของค่าความเค้นประลิทธิ์ผล ซึ่งเป็นสาเหตุหลักให้เกิดการสูญเสียกำลังของดินชื้น ผลการทดสอบแสดงให้เห็นว่ารูปแบบการเปลี่ยนแปลงความชื้นของดินอย่างดินบดอัดไม่มีผลต่อการเปลี่ยนแปลงค่ากำลังรับแรงอัดแกนเดียวกับปริมาณความชื้น

สำหรับดินลมหอบขอนแก่นการทดสอบกำลังในสนามเพื่อหาค่าพารามิเตอร์ไปใช้ในการออกแบบฐานราก ไม่ควรกระทำในช่วงฤดูแล้ง เนื่องจากความชื้นของดินอาจมีค่าน้อยกว่าร้อยละ 5 ซึ่งทำให้ค่ากำลังของดินที่ได้มีค่าสูงกว่าในช่วงฤดูฝนมาก การละเลยความสำคัญในจุดนี้อาจส่งผลให้เกิดปัญหาแกนฐานรากของอาคารขึ้นได้ภายหลังการก่อสร้าง

6. กิตติกรรมประกาศ

งานวิจัยนี้ได้รับการสนับสนุนเครื่องมือทดสอบจากมหาวิทยาลัยวงศ์สวัสดิ์

7. เอกสารอ้างอิง

- Phien-wej, N., Pientong, T., and Balasubramaniam, A.S., 1992, "Collapse and Strength Characteristics of Loess in Thailand," *Engineering Geology*

logy, Vol. 32, pp. 59-72.

2. วัชรินทร์ ก้าลลักษ์ และ สุวัฒน์ มนูญทด, 2542, "อิทธิพลของปริมาณความชื้นที่มีต่อกำลังรับน้ำหนักบรรทุกของดินตะกอนทรายปันดินทราย," เอกสารประชุมวิชาการวิศวกรรมโยธาแห่งชาติครั้งที่ 5, พัทยา, pp. GTE 203-208.

3. Punrattanasin, P., Kusakabe, A.S.O., and Nishimura T., 2002, "Engineering Properties of Khon Kaen Loess under Unsaturated Condition", 8th National Conference on Civil Engineering, Khon Kaen, Thailand, pp. GTE 316-321.

4. วัชรินทร์ ก้าลลักษ์, 2545, "พารามิเตอร์ในการออกแบบฐานรากเสาเข็มในดินลมหอบขอนแก่น," เอกสารประชุมวิชาการวิศวกรรมโยธาแห่งชาติครั้งที่ 8, ขอนแก่น, pp. GTE 375-379.

5. วัชรินทร์ ก้าลลักษ์ และ รัตมนี นันทสาร, 2545, "การปรับปรุงคุณภาพดินลมหอบขอนแก่นด้วยเต้ากลอยและเต้าแกลบสำหรับชั้นพื้นทาง," เอกสารประชุมวิชาการวิศวกรรมโยธาแห่งชาติครั้งที่ 8, ขอนแก่น, pp. GTE 143-148.

6. Bishop, A.W., 1959, *The Principal of Effective Stress*, Teknisk Ukebladk, Norway, Vol. 39, pp. 859-863.